

НАЦИОНАЛЬНАЯ АКАДЕМИЯ НАУК УКРАИНЫ

ИНСТИТУТ ГЕОТЕХНИЧЕСКОЙ МЕХАНИКИ
ИМ. Н.С. ПОЛЯКОВА

ГЕОТЕХНИЧЕСКАЯ МЕХАНИКА
GE TECHNICAL MECHANICS

МЕЖВЕДОМСТВЕННЫЙ СБОРНИК

НАУЧНЫХ ТРУДОВ

ВЫПУСК 96

Днепропетровск
2011

УДК 622.002.5-762:678.001.04

Геотехнічна механіка: Міжвід. зб. наук. праць / Ін-т геотехнічної механіки ім. М.С. Полякова НАН України. – Дніпропетровськ, 2011. – Вип. 96. – 200 с.

У збірнику представлені результати наукових досліджень в галузі динаміки та міцності, механіки еластомерів, безпеки складних технічних систем та проблем стійкого розвитку.

Для наукових працівників, аспірантів і студентів старших курсів.

Редакционная коллегия:

А.Ф. Булат – академик НАН Украины, д-р техн. наук, проф. (ответственный редактор); Э.И. Ефремов – чл.-корр. НАН Украины, д-р техн. наук, проф. (зам. ответственного редактора); В.В. Виноградов – д-р техн. наук (зам. ответственного редактора); В.В. Лукинов – д-р геол.-мин. наук, проф. (зам. ответственного редактора); В.А. Баранов – д-р геол. наук; Б.А. Блюсс – д-р техн. наук, проф.; Л.М. Васильев – д-р техн. наук, проф.; А.И. Волошин – чл.-корр. НАН Украины, д-р техн. наук, проф.; В.И. Дырда – д-р техн. наук, проф.; Ю.И. Кияшко – д-р техн. наук; В.П. Надутый – д-р техн. наук, проф.; В.Г. Перепелица – д-р техн. наук, проф.; Л.И. Пимоненко – д-р геол. наук; В.Ф. Приходченко – д-р геол. наук, проф.; К.К. Софийский – д-р техн. наук, проф.; Б.М. Усаченко – д-р техн. наук, проф.; М.С. Четверик – д-р техн. наук, проф.

Рецензенты: д-р техн. наук, проф. Франчук В.П.
д-р техн. наук, проф. Виноградов В.В.

Ответственный за выпуск д-р техн. наук, проф. Дырда В.И.

Адрес редколлегии:

49005, ГСП, Днепропетровск-5, ул. Симферопольская, 2а
Институт геотехнической механики им. Н.С. Полякова НАН Украины

Утверждено к печати Учёным Советом
Института геотехнической механики им. Н.С. Полякова НАН Украины
(протокол № 3 от 31 марта 2011 г.)

СОДЕРЖАНИЕ

Булат А.Ф., Дырда В.И. Динник Александр Николаевич (1876 – 1950).....	3
Науменко М.О., Баштаник П.І., Бурмістр М.В. Порівняльні дослідження конструкційних властивостей при стисненні гуми та термопластичних полімерів в умовах навантаження шинних виробів	10
Дырда В.И., Евенко С.Л. Локальные экзотермические эффекты при ударном разрушении резиновых футеровок барабанных мельниц.....	26
Дырда В.И., Звягильский Е.А., Булат Е.А., Кобец А.С. Закономерность деформирования и разрушения упруго-наследственных сред.....	34
Кобець А.С., Пугач А.М. Дослідження енергоемності процесу різання та розпушення ґрунту культиваторними лапами, що оснащені елементами локального зміщення	86
Твердохлеб Т.Е., Овчаренко Ю.Н., Рыжков И.Е., Колбасин В.А., Черний А.А., Цаниди И.Н., Агальцов Г.Н. Вибробезопасность машин и обслуживающего персонала в контексте охраны труда	89
Дырда В.И., Агальцов Г.Н., Козуб Ю.Г., Рощупкин С.В., Заболотная Е.Ю., Новикова А.В. Охрана труда в контексте защиты машин и операторов от шума и вибрации	98
Дырда В.И., Лисица Н.И., Заболотная Е.Ю., Лисица Н.Н., Твердохлеб Т.Е. Анализ способов вибросейсмоизоляции зданий и сооружений	111
Дырда В.И., Евенко С.Л., Маркелов А.Е., Хмель И.В. Рудоизмельчительные барабанные мельницы с резиновой футеровкой	122
Булат А.Ф., Пухальский В.Н., Дырда В.И., Кошик Ю.И., Дудченко А.Х., Лисица Н.И. Вибрационные машины для выпуска и доставки ураносодержащих руд	155
Овчаренко Ю.М., Бондаренко Л.М., Рижков И.Е., Колбасин В.О., Черний О.А., Цаніді І.М. Аналітичне уточнення коефіцієнта корисної дії циліндричної фрикційної передачі	162
Головко С.А., Булич Ю.Ю. Взаимодействие контактных поверхностей в области закреплённого металлокомпозитного анкера на основе обобщённой задачи Н.Е. Жуковского	166
Антипов И.В., Лобков Н.И. Формирование разрушающих напряжений в изгибающихся породных слоях	172
Агальцов Г.Н. Некоторые направления исследований системы «человек – машина – обрабатываемая среда»	177
Филимонов П.Е., Морус В.Л. О новой эффективной технологии сухого грохочения влажных рядовых углей перед обогащением	187

Національна Академія Наук України
Інститут геотехнічної механіки ім. М.С. Полякова

Наукове видання

ГЕОТЕХНІЧНА МЕХАНІКА

Міжвідомчий збірник наукових праць

Заснований у 1993 р.

Випуск 96 (російською мовою)

Journal of Health Politics, Policy and Law, Vol. 28, No. 4, December 2003
DOI 10.1215/03616878-28-4 © 2003 by The University of Chicago

Відповідальний за випуск В.І. Дирда

на верстка та підготовка макету ТО

Підписано до друку 09.04.2011 р.

16. Умовн. друк. арк. 12,5 Тираж 3

Віддруковано ФОП Лопатніков С. Г.

49000 м. Дніпропетровськ вул. Леніна, 41 кім. 122.

Співочість зв. Дорнівським розставлю.

Свідоцтво про державну реєстрацію
Варіант № 543146 від 28.11.2003 р.

Серія ВО1 № 54/146 від 28.11.2002 р

ристик упругих элементов машин вследствие эффектов старения; особенно это касается машин, установленных на перекрытиях сооружений. В этом случае параметры вибrosистемы (например, амплитуда колебаний) могут выйти за пределы допускаемых значений, и это может привести к повышенной вибонагруженности перекрытий, к повышенному влиянию вибраций на операторов, а в ряде случаев и к авариям [9-11].

СПИСОК ЛИТЕРАТУРЫ

1. Тимошенко С.П. Колебания в инженерном деле. – М.: Наука, 1967. – 444 с.
2. Механика деформирования и разрушения упруго-наследственных сред / Дырда В.И., Кобец А.С., Демидов А.А. – Днепропетровск: Герда, 2009. – 584 с.
3. Дырда В.И. Прочность и разрушение эластомерных конструкций в экстремальных условиях. – Киев: Наук. думка, 1988. – 239 с.
4. ГОСТ 12.1.012-90. ССБТ. Вибрационная безопасность. Общие требования; Введен 01.01.92. – М.: Госстандарт, 1990. – 46 с.
5. ДСН 3.3.6.039-99. Державні санітарні норми виробничої загальної та локальної вібрації; Чинний від 01.12.99. – Київ, 2000. – 45 с.
6. ДСТУ 2300-93. Вібрація. Терміни та визначення. – Київ, 1993.
7. ГОСТ 30610-98. Межгосударственный стандарт. Вибрация. Динамические характеристики стационарно-обогатительного оборудования. Методы определения; Введен 01.07.2000. – Киев: Держстандарт України. – 39 с.
8. Гогітшвілі Г. Ризик-менеджмент з охорони праці в умовах трансформаційних перетворень в економіці України: текст / Г. Гогітшвілі, В. Лапін, Р. Івах // Технополіс. – 2004. – Вип. 6. – С. 49-50.
9. Дырда В.И. Виброзоляция вихревых смесителей аглофабрик / В.И. Дырда, Н.И. Лисица, М.К. Шолик, В.Д. Афанасьев, С.А. Калашников // Геотехническая механика: Міжвід. зб. наук. праць / Ін-т геотехническої механіки НАН України. – Дніпропетровськ, 2003. – Вип. 43. – С. 149-164.
10. Афанасьев В.Д. О методах повышения эффективности виброзоляции при безфундаментной установке источников интенсивных вибраций / В.Д. Афанасьев, А.Р. Артуронян, В.И. Дырда, Н.И. Лисица, Н.Н. Лисица // Геотехническая механика: Межвед. сб. научн. трудов / ИГТМ НАН Украины. – Днепропетровск, 2006. – Вып. 63. – С. 178-185.
11. Афанасьев В.Д. О некоторых особенностях виброзоляции вихревых смесителей аглофабрик / В.Д. Афанасьев, В.И. Дырда, Н.И. Лисица, А.Р. Артуронян // Геотехническая механика: Межвед. сб. научн. трудов / ИГТМ НАН Украины. – Днепропетровск, 2005. – Вып. 60. – С. 162-168.
12. Прочность и разрушение резиновых деталей технологических машин / Булат А.Ф., Дырда В.И., Звигильский Е.А., Маркелов А.Е. – Киев: Наук. думка, 2009. – 380 с.
13. Вакуленко А.А. О связях между напряжениями и деформациями в неупругих средах // Исследования по упругости и пластичности. – Л.: 1961. – № 1. – С. 3-35.
14. Чудновский А.И. О разрушении макротел // Исследования по упругости и пластичности. – ЛГУ, 1973. – № 3. – С. 3-41.
15. Дырда В.И. К построению феноменологической модели разрушения эластомеров при циклическом деформировании // Механика эластомеров. – Краснодар, 1978. – № 268. – С. 22-26.
16. Акивис М.А., Гольдберг В.В. Тензорное исчисление. – М.: Наука, 1969. – 352 с.

УДК 678.4.06

Дырда В.И., Агальцов Г.Н., Козуб Ю.Г., Рощупкин С.В.
Заболотная Е.Ю., Новикова А.В.

ОХРАНА ТРУДА В КОНТЕКСТЕ ЗАЩИТЫ МАШИН И ОПЕРАТОРОВ ОТ ШУМА И ВИБРАЦИИ

Розглядається охорона праці на підприємствах з великим впливом шуму і вібрації на машини та операторів.

OCCUPATIONAL SAFETY IN THE CONTEXT OF PROTECTION OF CARS AND OPERATORS FROM NOISE AND VIBRATION

Labour protection at the enterprises with the big influence of noise and vibration on machines and operators is considered.

1. Вибрация и шумовое загрязнение

Вибрация является одной из основных причин разрушения машин и конструкций, зданий и сооружений, она уменьшает надёжность машин, нарушает режим их работы. Вибрация и шум оказывают вредное воздействие на человека

оператора, вибрационная патология стоит на втором месте (после пылевых) среди профессиональных заболеваний [1].

Шумовое загрязнение. Шум оказывает воздействие на физическое и психологоческое состояние человека. При повышении уровня шума у человека возникают: временное или постоянное ухудшение слуха, возбуждение нервной системы, развитие сердечно-сосудистых заболеваний, гипертония и т.п. В качестве единицы измерения используется уровень шума в децибелах (дБ) с коррекцией по шкале «A» стандартного шумомера при логарифмическом осреднении за годовое (ночное) время. Различают две категории шума и источников шума: 1 – проникающие в помещение звуки, источники которых находятся вне рассматриваемого объекта недвижимости; к числу таких источников шума относятся транспорт, шумящие агрегаты и установки производственных предприятий; 2 – звуки, проникающие в отдельные помещения рассматриваемого объекта недвижимости от источников, находящихся в том же здании (шум лифтов и другого инженерного оборудования).

Шум с уровнем звукового давления до (30...35) дБ привычен для человека и не беспокоит его. Повышение этого уровня до (40...70) дБ в условиях среды обитания создает значительную нагрузку на нервную систему, вызывая ухудшение самочувствия и при длительном действии, может быть причиной неврозов. Воздействие шума уровнем выше 75 дБ может привести к потере слуха – профессиональной тугоухости. При действии шума высоких уровней (более 140 дБ) возможен разрыв барабанных перепонок, контузия, а при еще более высоких (более 160 дБ) и смерть.

2. Влияние вибрации, шума и ударов на организм человека

Вибрация. Установлено, что незначительные амплитуды колебаний увеличивают мускульную силу, а шумы естественной природы успокаивают человека, в то же время инфразвуковые колебания и звуки высокой интенсивности, равно как и вибрации, так называемых критических частот могут ухудшать его самочувствие, приводить к снижению качества функционирования людей и техники.

Исследованиями установлено [2], что механические колебания определённой частоты и амплитуды крайне нежелательны для организма человека. Существенное значение имеет и направление распространения вибрации. Следует отметить, что вертикальные колебания в первую очередь наиболее ощущаются человеком, который стоит, а горизонтальные – теми, кто лежит. При этом колебания с частотой $\nu = 1-10$ Гц могут совсем не ощущаться при ускорении $a = 10 \text{ мм}/\text{с}^2$, могут ощущаться без неприятностей или могут создавать дискомфорт при $a = 400 \text{ мм}/\text{с}^2$ и становятся опасными для здоровья при $a \geq 1000 \text{ мм}/\text{с}^2$. По данным некоторых исследователей [2, 3] главная роль в восприятии человеком колебаний принадлежит амплитуде скорости при частотах $\nu > 15$ Гц и малых амплитудах (до 0,02 мм), а также амплитуде ускорений при малых частотах ($\nu < 15$ Гц) и больших амплитудах.

Шум. К факторам производственной среды, усугубляющим вредное воздействие вибраций на организм, относятся чрезмерные мышечные нагрузки, неблагоприятные микроклиматические условия, особенно пониженная температура, шум высокой интенсивности, психоэмоциональный стресс. Охлаждение и смачивание рук значительно повышают риск развития вибрационной болезни за счёт усиления сосудистых реакций. При совместном действии шума и вибрации наблюдается взаимное усиление эффекта.

Усугубляющее влияние сопутствующих факторов учитывается при расчёте показателей вероятности вибрационной болезни. В табл. 1 приведены значения расчётных коэффициентов K повышения риска вибрационной болезни в зависимости от уровня сопутствующего шума, температуры окружающей среды и категории тяжести работ. Изменение коэффициентов K для шума и температуры находятся в линейной зависимости от значения изменяемого фактора, и поэтому промежуточные значения подсчитывают по экспериментальным формулам [4]:

$$K_w = (L_w - 80)0,025 + 1, \quad K_{T_0} = (20 - T_0)0,08 + 1,$$

где K_w – коэффициент влияния шума;

K_{T_0} – коэффициент влияния температуры.

Гигиеническое нормирование вибраций регламентирует параметры производственной вибрации и правила работы с виброопасными механизмами и оборудованием [5-9]. Документы устанавливают: классификацию вибраций, методы гигиенической оценки, нормируемые параметры и их допустимые значения, режимы труда лиц виброопасных профессий, подвергающихся воздействию локальной вибрации, требования к обеспечению виробезопасности и к вибрационным характеристикам машин.

При гигиенической оценке вибраций нормируемыми параметрами являются средние квадратичные значения виброскорости v (и их логарифмические уровни L_v) или виброускорения для локальных вибраций в октавных полосах частот, а для общей вибрации – в октавных или треть октавных полосах. Допускается интегральная оценка вибрации во всём частотном диапазоне нормируемого параметра, а также по дозе вибрации D с учётом времени воздействия. Допустимые значения L_v представлены в табл. 2.

Таблица 1 – Коэффициенты повышения риска вибрационной болезни в зависимости от уровня шума, температуры среды и категории тяжести работ

Уровень звука, дБА	80	90	100	110	120
K_w	1	1,25	1,5	1,75	2
Изменение уровня на 1 дБА соответствует $K_w = 0,025$					
Температура воздуха рабочей зоны, °С	+20	+10	0	-10	-20
K_{T_0}	1	1,8	2,6	3,4	4,2
Изменение температуры воздуха 1°C соответствует $K_{T_0} = 0,8$					
Категория тяжести труда	I	II	III	IV	
$K_{\text{так}}$	1	1,2	1,5	2	

Таблица 2 – Гигиенические нормы вибраций по [6] (извлечение)

Вид вибрации	Допустимый уровень виброскорости, дБ, в октавных полосах со среднегеометрическими частотами, Гц										
	1	2	4	8	16	31,5	63	125	250	500	1000
Общая транспортная.											
вертикальная	123	114	108	107	107	107	–	–	–	–	–
горизонтальная	122	117	116	116	116	116	–	–	–	–	–
Транспортно-технологическая	–	117	108	102	101	101	–	–	–	–	–
Технологическая	–	108	99	93	92	92	–	–	–	–	–
В производственных помещениях, где нет машин, генерирующих вибрацию	–	100	91	85	84	84	–	–	–	–	–
В служебных помещениях, здравпунктах, конструкторских бюро, лабораториях	–	91	82	76	75	75	75	–	–	–	–
Локальная вибрация	–	–	–	115	109	109	109	109	109	109	109

Для общей и локальной вибрации зависимость допустимого значения виброскорости V_t (м/с) от времени фактического воздействия вибрации, не превышающего 480 мин, определяется по формуле:

$$V_t = V_{480} \sqrt{\frac{480}{T}},$$

где V_{480} – допустимое значение виброскорости для длительности воздействия 480 мин, м/с.

Максимальное значение V_t для локальной вибрации не должно превышать значений, определяемых для $T = 30$ мин, а для общей вибрации при $T = 10$ мин.

3. Защита машин, оборудования и обслуживающего персонала от вредного воздействия производственной вибрации

Одним из направлений решения проблемы защиты обслуживающего персонала, машин, оборудование, фундаментов и строительных конструкций от действия вибрационных нагрузок большой интенсивности, в том числе при низкочастотных спектрах их действия есть разработка принципов выбора параметров виброзащитных систем с использованием резиновых и резинометаллических элементов.

3.1. Методы оценки безопасности горных машин с учётом риска техногенных аварий

Методы повышения виробезопасности машин и сооружений. Анализ существующих методов виброзащиты свидетельствует, что наиболее эффективным есть метод виброизоляции на базе эластомерных элементов (ЭЭ) конструкций. Такой подход принят за основу при разработке методов повышения безопасности тяжёлых горных машин и обслуживающего персонала от действия интенсивных вибраций.

Критерии виробезопасности машин и сооружений. Критерии виробезопасности машин и сооружений должны включать два аспекта: во-первых, обеспечивать эффективность виброзащиты; во-вторых, соответствовать долговечности конкретного объекта.

Эффективность виброзащиты определяют с помощью методов теории колебаний [10]. Её основной принцип заключается в том, что частота собственных колебаний $\omega_{\text{соб}}$ в несколько (3-5) раз отличается от частоты ω_n нижнего порога спектра частот возбуждающих сил. Это условие есть необходимым и достаточным условием предотвращения резонансных явлений, которые обуславливают аварийные ситуации, разрушение машин и сооружений. Математическим выражением этого условия есть

$$\omega_{\text{соб}} \leq \omega_n, \quad \omega_n = \omega_n / k, \quad (1)$$

где k – коэффициент, который определяет эффективность виброизоляции с учётом санитарно-гигиенических норм, предназначения объекта и др.

Второй аспект критерия виробезопасности связан с надёжностью систем виброзащиты, в частности со сроком эксплуатации систем, несущей способностью и прочностью ЭЭ, их долговечностью.

Критерии разрушения эластомерных элементов систем виброзащиты. Рассмотрим критерии разрушения ЭЭ согласно основным типам установленных выше отказов.

Критериями нарушения целостности резинового массива может быть энергетический критерий диссипативного типа. Он учитывает физическую нелиней-

ность материала, зависимость свойств последнего от частоты и температуры, конструктивные и эксплуатационные параметры. Довольно подробно этот критерий изложен в работах [11, 12].

Критериями разрушения при изменении формы (выпучивание резины, потеря устойчивости из-за старения резины) и отрыве массива ЭЭ от арматур можно считать критические деформации. Общий вид этого критерия в математической форме есть

$$\Delta h/H_0 \leq \Delta h_{kp}, \quad (2)$$

где Δh – деформация ЭЭ в направлении действия усилий;

Δh_{kp} – критическое значение деформации ЭЭ, превышение которого ведёт к снижению функциональных параметров ЭЭ;

H_0 – высота ЭЭ в недеформированном состоянии.

Построение критерия проводится на примере цилиндрического элемента (H_0, R_0 – высота и радиус в недеформированном состоянии), параллельные торцы которого прочны, без проскальзывания, соединены с металлическими пластинаами. При сжатии цилиндра внешней силой F имеет место изменение высоты его на величину Δh и выпучивание боковой поверхности. Выпучивание обусловлено тем, что для резины модуль сдвига $G = 1$ МПа, а модуль одностороннего сжатия $B \approx 3000$ МПа. Если первая величина обусловлена энтропийной природой эластичного деформирования каучуковой сетки, то вторая – силами Ван-Дер-Ваальса между молекулами разных высокомолекулярных соединений. Под нагрузкой высота резинового массива равняется $H=H_0-\Delta h$, при этом радиус цилиндра приобретает значение в зависимости от высоты

$$R(h, \Delta h) = R_0 + a(h, \Delta h), \quad (3)$$

где h, a – координаты изменения высоты и радиуса.

Выражение $a(h, \Delta h)$ описывает закон деформирования внешнего предельного слоя резины при сжатии цилиндра на величину Δh , которая отвечает очевидным условиям

$$\begin{cases} a(H-h, \Delta h) = a(h, \Delta h), & 0 \leq h \leq H; \\ a(H, \Delta h) = a(0, \Delta h) - a. \end{cases} \quad (4)$$

Известно, что напряжения сдвига, которые возникают в единичном объёме резины при простом сдвиге с углом θ_0 , определяются линейной зависимостью [13]

$$\sigma = G \operatorname{tg} \theta_0, \quad (5)$$

где G – модуль сдвига резины.

Максимум деформаций сдвига находится на внешней поверхности резинового массива, где

$$\operatorname{tg} \theta_0 = \frac{\partial R(h, \Delta h)}{\partial h} = \frac{\partial a(h, \Delta h)}{\partial h}. \quad (6)$$

Отслоение резины от металла, или разрыв граничного слоя резины имеет место, когда нагрузка $\sigma(h, \Delta h)$ превышает известную характеристику прочности σ_{kp} , т.е. $\sigma(h, \Delta h) > \sigma_{kp}$. Если принять во внимание выражения (5) и (6), то можно записать такое критериальное уравнение

$$\frac{\partial a(h, \Delta h)}{\partial h} \geq \frac{\sigma_{kp}}{G}. \quad (7)$$

Условие (7) можно конкретизировать с использованием основных принципов механики деформированного твёрдого тела.

При условии несжимаемости (коэффициент Пуассона $\nu = \text{const}$) имеем

$$R_0^2 H_0 = \int_0^H R^2(h) dh. \quad (8)$$

Согласно (7), принимая во внимание условие $a(h, \Delta h) \ll R_0$, получаем

$$\begin{cases} \int_0^H B(h, \Delta h) dh = 1, \\ a(h, \Delta h) = 0,5 R_0 \Delta h B(h, \Delta h). \end{cases} \quad (9)$$

Теперь задача свелась к определению вида функции $B=B(h, \Delta h)$. С этой целью воспользуемся физическим принципом минимума запасённой упругой энергии. Т.е., необходимо рассчитать упругую энергию цилиндра при деформировании и, воспользовавшись вариационным принципом, установить конкретный вид зависимости $B=B(h, \Delta h)$ при котором величина упругой энергии будет минимальной.

Полная упругая энергия цилиндра состоит из двух основных частей: $W=W_1+W_2$. Энергия W_1 обусловлена одноосным сжатием, энергия W_2 – деформированием сдвига элементов объёма.

Значение W_1 не зависит от функции B :

$$W_1 = 0,5 E \frac{\pi R_0}{H_0} \Delta h^2, \quad E = 3G. \quad (10)$$

Энергия W_2 существенно зависит от B .

Согласно [13] можно получить для W_2 такое математическое приближение

$$dW_2 = \frac{\pi G}{4} \left[R(h, \Delta h) \frac{\partial R(h, \Delta h)}{\partial h} \right]^2 dh. \quad (11)$$

Отбрасывая величины второго порядка, переходя к функции $\varepsilon(x, \Delta h) = 2Hb(h, \Delta h)$ при $x=h/H$, $0 < x < 1$, окончательно для (9) имеем

$$\begin{cases} dW_2 = \frac{\pi G}{64} R_0^4 \frac{\Delta h}{H} \left[\frac{\partial \varepsilon(h, \Delta h)}{\partial x} \right]^2 dh, \\ \int_0^{0.5} \varepsilon(x, \Delta h) dx = 1, \quad \varepsilon(0.5+x, \Delta h) = \varepsilon(0.5-x, \Delta h), \\ \varepsilon(0, \Delta h) = \varepsilon(1, \Delta h) = 0, \quad \left. \frac{\partial \varepsilon}{\partial x} \right|_{x=0.5} = 0, \quad 0 \leq x \leq 1. \end{cases} \quad (12)$$

Для функции $\varepsilon(x, \Delta h)$ воспользуемся преобразованием Фурье, которое учитывает граничные условия и симметрию

$$\varepsilon(x, \Delta h) = \pi \sum_{n=0}^{\infty} a_n(\Delta h) \sin[(2n+1)\pi x]. \quad (13)$$

Согласно (11) и (13) имеем

$$W_2(\Delta h) = \frac{\pi^5 G R_0^4 \Delta h^2}{32 H^3} \times \int_0^{\frac{H}{2}} \left\{ \sum_{n=0}^{\infty} \sigma_n(\Delta h) (2n+1) \cos[(2n+1)\pi x] \right\}^2 dx. \quad (14)$$

Задача поиска минимума упругой энергии сводится, таким образом, к отысканию минимума функции $\sum_{n=0}^{\infty} \sigma_n^2(\Delta h) (2n+1)^2$ при учёте условия $\sum_{n=0}^{\infty} \frac{\sigma_n(\Delta h)}{2n+1} = 1$.

Используя метод неопределённых множителей Лагранжа для функции $a(h, \Delta h)$, имеем выражение

$$a(h, \Delta h) = \frac{24 R_0 \Delta h}{\pi h} f(y), \quad (15)$$

где $f(y) = \sum_{n=0}^{\infty} \frac{\sin[(2n+1)y]}{(2n+1)^3}, \quad 0 \leq y \leq \pi, \quad y = \pi x.$

Определяя функцию $f(x, y)$ уравнением

$$f(y) = \frac{\pi}{8}(\pi - y)y \text{ или } f(x) = \frac{\pi}{8}x(1-x), \quad (16)$$

окончательно имеем

$$a(h, \Delta h) = \frac{3 R_0 \Delta h (H - h)}{H^3}. \quad (17)$$

а критериальное уравнение принимает вид

$$\frac{\sigma R_0 \Delta h |H|}{H^3} \geq \frac{\sigma^*}{G}. \quad (18)$$

Относительно допустимых деформаций критерий разрушения имеет вид

$$\frac{\Delta h}{H_0} \leq 1 - \frac{2}{1 + \sqrt{1 + \frac{4\sigma^* H_0}{3R_0 \sigma}}} = \frac{3R_0 G}{4\sigma^* H_0} \left(\sqrt{1 + \frac{4\sigma^* H_0}{3R_0 G}} - 1 \right). \quad (19)$$

Относительно допустимых нагрузок критерий разрушения есть

$$F < F^* \equiv 3 \left[1 + 0,5 \left(\frac{R_0}{H_0} \right)^2 G \pi R_0^2 \left(1 - \frac{2}{1 + \sqrt{1 + \frac{4\sigma^* H_0}{3R_0 G}}} \right) \right]. \quad (20)$$

С учётом эффектов объёмного сжатия, согласно (15) уравнение (20) перепишем таким образом

$$F < F^* \equiv \frac{9 \left[1 + 0,5 \left(R_0 H^{-1} \right)^2 \right]}{\left[1 + 3 \left[1 + 0,5 \left(R_0 H^{-1} \right)^2 (1-2\nu) \right] \right]} \frac{G^2 \pi R_0^3}{4\sigma^* H_0} \times \left(\sqrt{1 + \frac{4\sigma^* H_0}{3R_0 G}} - 1 \right)^2, \quad (21)$$

где $\nu = 0,4998$ – коэффициент Пуассона резины.

Значение σ^* зависит как от типа резины, так и от технологии крепления резины с металлом. Его можно определить путём эксперимента для каждой партии резинометаллических виброизоляторов. Необходимо отметить, что значения σ^* является довольно чувствительным к наличию различных дефектов, которые возникают как в процессе изготовления, так и в процессе длительной эксплуатации.

Уравнение (20) можно также обобщить

$$P < P^* \equiv 3 \left[1 + 0,5 \left(\frac{R_0}{H_0} \right)^2 \right] G \pi R_0^2 (1 - \lambda), \quad (22)$$

где λ – наибольший корень уравнения

$$A^2 \lambda^3 + 2A\lambda^3 + \frac{11}{5}\lambda - \frac{11}{5} = 0,$$

$$A = \sigma^* H_0 / 5GR_0.$$

Таким образом, критериальные уравнения (19)-(22) дают условия поперечной или горизонтальной устойчивости ЭЭ (отсутствует отслоение резины от металла).

Вертикальная устойчивость обеспечивается согласно критерию Эйлера (16), что связывает действующие силы с конструктивными параметрами резины, или с учётом условия устойчивости ЭЭ.

$$H \leq \alpha D, \quad (23)$$

где H – полная высота ЭЭ;

D – диаметр;

α – коэффициент устойчивости.

Последнее условие необходимо учитывать в общем алгоритме выбора параметров ЭЭ.

4 Применение виброизолирующих систем для защиты зданий, сооружений и человека-оператора от вибраций и шума

4.1 Виброизоляция вихревых смесителей и молотковых дробилок

Институтом геотехнической механики совместно с Украинским государственным НИИ безопасности труда и экологии в горнорудной и металлургической промышленности выполнена разработка способов защиты обслуживающего персонала тяжёлых машин и оборудования от действия вибрационных и ударных нагрузений с использованием эластомерных конструкций.

Выполнена разработка и исследование резиновых виброизоляторов типов ОП-180, УП-230 и систем виброизоляции для вихревых смесителей ВС-360 и молотковых дробилок ДРМЕ 14,5×13 [14].

Выполненные измерения вибраций показали, что величины вибраций существенно зависят от величин динамического нагружения на опорные конструкции, материала опорных площадок (железобетонные или стальные), их связью с машиной (жёсткой связью или через эластомерные конструкции).

Измерения величин виброускорения на площадках обслуживания вихревых смесителей выполнены по осям OX, OY и OZ в точках, которые находятся в зоне обслуживания. Данные по результаты измерений виброускорений вихревых смесителей ВС-360 при жёсткой установке на перекрытии приведены в табл. 3.

Данные по результаты измерений виброускорений вихревого смесителя с системой виброизоляции СВВЗ приведены в табл. 4.

Результаты измерений показывают, что гранично-допустимые значения виброускорения обеспечиваются во всех точках, кроме точки 4 (рис. 1). В точке 4 гранично-допустимые значения виброускорения на частотах 16 Гц обеспечиваются для $t = 60$ мин. По данным хронометражных исследований максимальное время обслуживания вихревых смесителей машинистами конвейеров в т. 4 (на площадках разгрузочных устройств) не превышает 60 мин.

Таблица 3 – Величины вибраций на площадке вихревого смесителя для среднегеометрической частоты 16 Гц при жёсткой установке

Точки измерений	Оси измерений	Виброускорения
По данным института ИГТМ НАН Украины		
t. 2'	OZ	1,08
	OY	0,98
t. 3	OZ	1,78
	OY	1,48
t. 3'	OZ	1,5
	OY	0,5
t. 4	OZ	2,3
	OY	1,8
t. 5	OZ	1,6
По данным КП «Харьковский ПромстройНИИпроект»		
t. 2	OZ	0,71
t. 3	OZ	2,03
t. 4	OZ	2,34
	OY	1,02
Границно-допустимые:		
– для обслуживающего персонала при t = 60 мин	OX, OY, OZ	0,56
– для перекрытия	OZ	0,60

Таблица 4 – Величины вибраций на площадке вихревого смесителя с системой виброзоляции

Точки измерений	Оси измерений	Виброускорения, м/с ²					
		Среднегеометрические частоты октавных полос, Гц					
		2	4	8	16	31,5	63
t. 1	OX	0,002	0,04	0,04	0,015	0,02	0,02
	OY	0,002	0,005	0,02	0,07	0,02	0,03
	OZ	0,015	0,0	0,02	0,07	0,08	0,05
t. 2	OX	0,006	0,007	0,008	0,03	0,006	0,005
	OY	0,007	0,007	0,006	0,016	0,008	0,008
	OZ	0,001	0,007	0,7	0,33	0,3	0,1
t. 3	OX	0,001	0,007	0,08	0,08	0,02	0,01
	OY	0,002	0,007	0,03	0,06	0,03	0,02
	OZ	0,002	0,008	0,008	0,33	0,3	0,2
t. 4	OX	0,01	0,009	0,008	0,04	0,05	0,03
	OY	0,011	0,01	0,02	0,08	0,03	0,028
	OZ	0,002	0,01	0,11	0,5	0,25	0,20
t. 5	OX	0,003	0,003	0,005	0,05	0,03	0,05
	OY	0,001	0,0025	0,02	0,03	0,03	0,03
	OZ	0,005	0,006	0,025	0,2	0,16	0,2
t. 6	OX	0,003	0,008	0,006	0,03	0,03	0,01
	OY	0,008	0,007	0,006	0,02	0,03	0,04
	OZ	0,005	0,007	0,035	0,25	0,31	0,08
Границно-допустимые:		OX, OY, OZ					
– для обслуживающего персонала:							
при t = 120 мин		0,28	0,2	0,2	0,4	0,78	1,57
при t = 60 мин		0,40	0,28	0,28	0,56	1,1	2,2
– для перекрытия	OZ	–	–	–	0,6	–	–

Таблица 5 – Величины вибраций на площадке молотковой дробилки при её жёстком креплении

Точки измерений	Оси измерений	Виброускорения, м/с ²
t. 1	OZ	0,75
t. 2	OZ	5,5
t. 3	OZ	2,15
t. 4	OZ	2,62
t. 5	OZ	3,43
t. 6	OZ	0,98

Таблица 6 – Величины вибраций на площадке молотковой дробилки с системой виброзоляции

Точки измерений	Оси измерений	Виброускорения, м/с ²					
		Среднегеометрические частоты октавных полос, Гц					
		2	4	8	16	31,5	63
t. 1	OX	0,004	0,003	0,005	0,014	0,006	0,006
	OY	0,005	0,002	0,003	0,006	0,004	0,025
	OZ	0,002	0,002	0,004	0,04	0,04	0,05
t. 2	OX	0,005	0,003	0,002	0,003	0,005	0,015
	OY	0,02	0,015	0,01	0,01	0,003	0,0015
	OZ	0,003	0,002	0,004	0,04	0,03	0,04
t. 3	OX	0,004	0,002	0,0025	0,001	0,007	0,025
	OY	0,002	0,025	0,0022	0,025	0,004	0,01
	OZ	0,003	0,002	0,0025	0,02	0,025	0,04
t. 4	OX	0,004	0,003	0,004	0,018	0,01	0,03
	OY	0,004	0,003	0,0025	0,004	0,006	0,001
	OZ	0,002	0,002	0,003	0,04	0,02	0,03
t. 5	OX	0,003	0,002	0,002	0,009	0,007	0,03
	OY	0,006	0,003	0,003	0,008	0,003	0,01
	OZ	0,003	0,002	0,004	0,05	0,02	0,05
t. 6	OX	0,004	0,003	0,005	0,004	0,006	0,02
	OY	0,005	0,002	0,003	0,006	0,004	0,025
	OZ	0,002	0,0015	0,0025	0,04	0,02	0,06
Границно-допустимые:		OX, OY, OZ	0,14	0,01	0,1	0,2	0,4
– для обслуживающе-го персонала		–	–	–	0,6	–	–
– для перекрытия		–	–	–	–	–	–

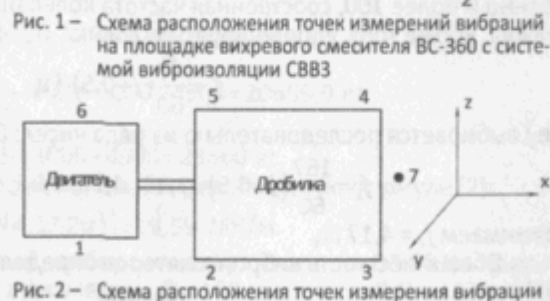
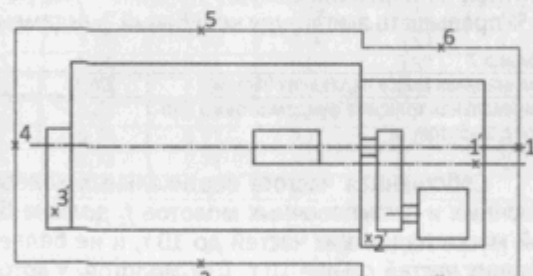
Аналогичные исследования были проведены для молотковой дробилки ДРМЕ 14,5×13. Измерения величин виброускорения на площадках обслуживания молотковых дробилок выполнены по осям OX, OY, OZ (рис. 2).

Данные о результатах измерений виброускорений в точках 1-6 (рис. 2) при жёстком креплении и с системой виброзоляции приведены в табл. 5 и табл. 6 соответственно.

Результаты измерений показали, что величины виброускорений на площадках обслуживания дробилки значительно ниже границно-допустимых, согласно ДСН 3.3.6.039-99 [7].

4.2 Виброзоляции фундаментов под кузнечные молоты

Устройство виброзоляции фундаментов под молоты обязательно для молотов с массой падающих частей 10 т и более, а также для молотов с массой падающих частей более 1 т, если основание сложено мелкими и пылеватыми водонасыщенными песками [15].



Конструкция виброизолированного фундамента представлена на рис. 3.

Исходные данные на проектирование виброизолированного фундамента взяты из технической характеристики молота ковочного пневматического МД-4131:

1. Масса шабота – 3000 кг, масса молота – 4900 кг, масса падающих частей – $250 \pm 20\%$ кг;

2. Число ударов молота в 1 мин – $162 \pm$

3. Энергия удара – 6,45 кДж.

Фундамент под молот выполняется в виде железобетонного блока. Толщина фундаментного блока под шаботом должна быть не менее указанной в табл. 7.

Допускаемая амплитуда колебаний a_1 фундаментного блока молотов с массой падающих частей до 5 т принимается равной $3 \cdot 10^{-3}$ м.

Во избежание отрыва фундаментной конструкции от виброизолаторов статическая осадка выброизолаторов от веса молота и фундаментной конструкции должна не менее чем на 20 % превышать амплитуду колебаний фундаментной конструкции.

Таблица 7

Номинальная масса падающих частей, т	До 1	2	3	4	Более 5
Минимальная толщина фундаментного блока под шаботом, м	1	1,25	1,5	2,15	3,2

Собственная частота вертикальных колебаний фундаментной конструкции ковочных и штамповочных молотов f_z должна быть не более 6 Гц при номинальной массе падающих частей до 10 т, и не более 4 Гц при номинальной массе падающих частей свыше 10 т. Для молотов, у которых число ударов в минуту N постоянно и более 100, собственная частота колебаний фундаментной конструкции f_z должна, кроме того, удовлетворять условию

$$f_z = \frac{N}{60} (j+0,5) \text{ Гц}, \quad (24)$$

где j выбирается последовательно из ряда чисел: 0, 1, 2, 3, 4, 5.

$$f_z = \frac{167}{60} (j+0,5) = 1,39; 4,17; 6,96; 9,74; 15,3.$$

Принимаем $f_z = 4,17$ Гц.

Общая жёсткость виброизолаторов определяется по формуле

$$K_z = m \omega_z^2, \quad (25)$$

где $\omega_z = 2\pi f_z$;

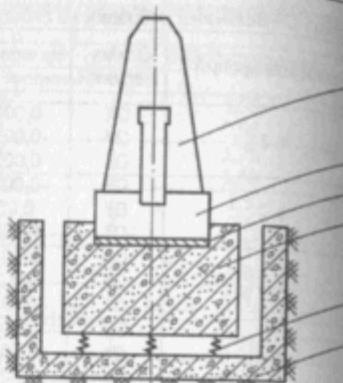
m – масса виброизолированной установки; $m = m_f + m_{an} + m_b$,

m_f – масса фундаментного блока;

m_{an} – масса шабота;

m_b – масса молота.

Масса фундамента m_f определяется по формуле



1 – станина молота; 2 – шабот; 3 – подшабонная прокладка; 4 – фундаментный блок; 5 – виброизолаторы; 6 – поддерживающая конструкция (подфундаментный короб)

Рис. 3 – Схема виброизолированного фундамента под штамповочный молот с фундаментным блоком

$$m_f = \frac{S}{a_f \omega_z} \beta - m_{an} - m_b, \quad (26)$$

где S – величина импульса, кг·м/с;

$$S = (1+\nu) m_0 V_0, \quad (27)$$

ν – коэффициент восстановления скорости при ударе, для ковочных молотов принимается равным 0,25;

V_0 – скорость падающих частей молота в момент удара;

$$V_0 = \sqrt{\frac{2E_{sh}}{m_0}}, \quad (28)$$

E_{sh} – энергия удара, Дж.

По табл. 8 определяем коэффициент β , значение которого для резиновых виброизолаторов для молотов с постоянной частотой ударов находим по графу $n_k \geq 8$, n_k – наименьшее целое число, большее, чем $60f_z/N_{max}$; N_{max} – максимально возможное число ударов молота в 1 мин.

Виброизолаторы изготовлены из резины марки 2959, для неё коэффициент потерь $\gamma_b = 0,14$.

Из табл. 8 $\beta = 0,89$.

Таблица 8

γ_b	n_k							$n_k \geq 8$
	1	2	3	4	5	6	7	
0,1	3,42	1,97	1,51	1,29	1,16	1,09	1,03	0,92
0,14	2,5	1,52	1,21	1,07	1,00	0,96	0,93	0,89
0,18	1,99	1,27	1,05	0,96	0,91	0,89	0,87	0,86
0,22	1,66	1,10	0,95	0,88	0,85	0,84	0,83	0,83
0,26	1,42	0,99	0,87	0,83	0,81	0,80	0,79	0,79
0,3	1,25	0,90	0,81	0,78	0,77	0,77	0,76	0,76
0,34	1,12	0,83	0,76	0,74	0,74	0,73	0,73	0,73
0,38	1,01	0,77	0,72	0,71	0,71	0,70	0,70	0,70

По формулам (3)-(5):

$$V_0 = \sqrt{(2 \cdot 6,45 \cdot 10^3) / 250} = 7,18 \text{ м/с};$$

$$S = (1+0,25) \cdot 250 \cdot 7,18 = 2243,75 \text{ кг·м/с};$$

$$m_f = \frac{2243,75}{3 \cdot 10^{-3} (4,17 \cdot 2\pi)} \cdot 0,89 - 3000 - 4900 = 20659,9 \text{ кг};$$

$$m = 20659,9 + 3000 + 4900 = 28560 \text{ кг}.$$

Жёсткость виброизолирующей системы определяется по формуле (2):

$$K_z = 28560 (4,17 \cdot 2\pi)^2 = 19,59 \text{ МН/м}.$$

Из конструктивных условий выбираем виброизолатор BP-903M (рис. 4) с жёсткостью $K_{z1} = (1,2 \div 1,5)$ МН/м с диаметром $D = 180$ мм, высотой $H = 113$ мм [16].

Количество виброизолаторов $n = K_z / K_{z1} = 14$ шт.

Статическая осадка виброизолаторов:

$$\Delta = \frac{mg}{K_z} = \frac{28560 \cdot 10}{19,59 \cdot 10^6} = 0,0146 \text{ м} \approx 15 \text{ мм}.$$

Относительная деформация сжатия виброизолатора

$$\varepsilon = \frac{\Delta}{H} = \frac{15}{113} = 0,13.$$

Амплитуду колебаний a_d подфундаментного короба определяем по формуле

$$a_d = (\omega_z S) / (\alpha \cdot A_d \cdot C_z), \quad (29)$$

где C_z – коэффициент упругого равномерного сжатия грунта в основании, кН/м³, для суглинка $C_z = 48 \cdot 10^3$ кН/м³; коэффициент α для 3 Гц ≤ f_z ≤ 6 Гц определяется по формуле

$$\alpha = 0,5 + 0,2 f_z = 0,5 + 0,2 \cdot 4,17 = 1,334;$$

A_d – площадь днища подфундаментного короба, $A_d = 2,6 \cdot 4,7 = 12,22$ м².

По формуле (6):

$$a_d = \frac{2\pi \cdot 4,17 \cdot 2243,75}{1,334 \cdot 12,22 \cdot 48 \cdot 10^6} \cdot 0,89 = 0,067 \cdot 10^{-3} \text{ м} < (0,15 - 0,4) \text{ мм.}$$

Система виброизоляции молота МД-4131 выполнена в соответствии с технической документацией, разработанной НПК «Автоматика и машиностроение» и оснащена в соответствии с расчётом ИГТМ НАН Украины экспериментальными образцами вибропреобразователей типа ВР-903М в количестве 14 штук.

Произведены замеры параметров вибрации в четырёх точках пола (по углам фундаментного короба) и амплитуда колебаний фундаментного блока. Измерения выполнены ручным вибрографом типа ВР-1 и измерителем шума и вибрации типа ВШВ003 №2435 с вибропреобразователем ДНЗ №390.

Результаты измерений сведены в табл. 9.

Таблица 9

№ точки измерения	Ось измерения	Вибропреремещения, мм	Холостой ход			
			Общий уровень	Среднегеометрические частоты октавных полос, Гц	16	31,5
1	0z	0	0,062	0,050	0,0025	0,001
2	0z	0	0,031	0,012	0,0025	0,002
3	0z	0	0,043	0,012	0,004	0,001
4	0z	0	0,082	0,012	0,007	0,006
5	0z	-	-	-	-	-
При ковке						
1	0z	0	0,068	0,045	0,05	0,035
2	0z	0	0,055	0,048	0,042	0,038
3	0z	0	0,056	0,046	0,04	0,036
4	0z	0	0,06	0,05	0,045	0,03
5	0z	$\frac{0,625}{1,2+1,25}$	-	-	-	-

*Числитель – вибропреремещения фундаментного блока при последовательных (4 удара в сек.) ударах молота; в знаменателе – при одиночных ударах

Границно-допустимые нормы для обслуживающего персонала: вибропреремещения – 0,0282 мм; виброускорения – 0,14 м/с² (2 Гц); 0,1 м/с² (4 Гц); 0,11 м/с² (8 Гц); 0,2 м/с² (16 Гц); 0,4 м/с² (31,5 Гц); 0,8 м/с² (63 Гц). Заданное расчётом допустимое вибропреремещение фундаментного блока – 3 мм.

В результате испытаний установлено:

- вибропреремещения молота выполнены в соответствии с технической документацией;
- уровень амплитуд вибропреремещений и виброускорений на опорных конструкциях ниже нормативных значений для обслуживающего персонала и строительных конструкций согласно ДСН 3.3.6.039-99, ГОСТ 12.1.012-90 и СНиП 2.02.05-87.

тельных конструкций согласно ДСН 3.3.6.039-99, ГОСТ 12.1.012-90 и СНиП 2.02.05-87.

СПИСОК ЛИТЕРАТУРЫ

- Дырда В.И. Шум и вибрация в человеко-машинных системах в контексте охраны труда / В.И. Дырда, Г.Н. Агальцов, Е.А. Булат, С.В. Рощупкин // Геотехническая механика. Межвед. сб. научн. трудов. – Днепропетровск: Аванташ. – 2010. – Вып. 86. – С. 195-231.
- Повороженко В.В. Транспорт и охрана окружающей среды / В.В. Повороженко, С.М. Резер, Ю.К. Казаров. – М.: ВИНТИ, 1980. – 119 с.
- Диментберг Ф.М. Вибрация в технике и человек / Ф.М. Диментберг, К.В. Фролов. – М.: Знание, 1987. – 160 с.
- Легасов В.А. Проблемы безопасного развития техносферы // Коммунист. – 1987. – № 6.
- ГОСТ 12.1.003-83 ССБТ. Шум. Общие требования безопасности; Введен 01.07.84. – М.: Изд-во стандартов, 1983. – 10 с.
- ГОСТ 12.1.012-90. ССБТ. Вибрационная безопасность. Общие требования; Введен 01.01.92. – М.: Госстандарт, 1990. – 46 с.
- ДСН 3.3.6.039-99. Державні санітарні норми виробничої загальної та локальної вібрації; Чинний від 01.12.99. – Київ, 2000. – 45 с.
- ДСТУ 2300-93. Вібрація. Терміни та визначення. – Київ, 1993.
- ГОСТ 30610-98. Межгосударственный стандарт. Вибрация. Динамические характеристики стационарно-обогатительного оборудования. Методы определения; Введен 01.07.2000. – Киев: Держстандарт Украины. – 39 с.
- Пановко А.Г. Введение в теорию механических колебаний. – М.: Наука, 1991. – 256 с.
- Дырда В.И. Прочность и разрушение эластомерных конструкций в экстремальных условиях. – Киев: Наукова думка, 1988. – 232 с.
- Мазнецова А.В. Разработка прикладных методов расчёта силовых резиновых деталей вибрационных транспортно-технологических машин / Автореф. дисс. канд. техн. наук: 05.05.06 / НАН Украины, Ин-т геотех. механики. – Днепропетровск, 1990. – 17 с.
- Трелоар Л. Физика упругости каучука. – М.: ИЛ, 1953. – 240 с.
- Афанасьев В.Д. О некоторых особенностях виброизоляции вихревых смесителей аглофабрик / В.Д. Афанасьев, В.И. Дырда, Н.И. Лисица, А.Р. Арютюня // Геотехническая механика. Межвед. сб. научн. трудов / ИГТМ НАН Украины. – Днепропетровск. – 2005. – Вып. 60. – С. 162-168.
- Рекомендации по виброзащите несущих конструкций производственных зданий / ЦНИИ и ПЭИ комплексных проблем строительных конструкций и сооружений им. В.А. Кучеренко Госстроя СССР. – М.: Стройиздат, 1988. – 217 с.
- Булат А.Ф., Дырда В.И., Звягильский Е.Л., Кобец А.С. Прикладная механика упруго-наследственных сред. В 3-х томах. – Киев: Наукова думка, 2011. – Т. 1. Механика деформирования и разрушения эластомеров. – 2011. – 463 с.

УДК 691.841

Дырда В.И., Лисица Н.И., Заболотная Е.Ю., Лисица Н.Н., Твердохлеб Т.Е.

АНАЛИЗ СПОСОБОВ ВИБРОСЕЙСМОИЗОЛЯЦИИ ЗДАНИЙ И СООРУЖЕНИЙ

У статті розглянуто різні системи сейсмоізоляції будинків і споруд. Виконано аналіз існуючих систем і наведені конструкції антисейсмічних опор, що розроблені в ІГТМ НАН України, на основі багатошарових гумометалевих вибропреремещувачів. Показано їх переваги.

THE ANALYSIS OF WAYS OF VIBROSEISMOISOLATION OF BUILDINGS AND BUILDINGS

In a paper various systems of seismoisolation of houses and buildings are considered. The analysis of existing systems is made and constructions of antiseismic legs which are developed in the Polyakov institute of geotechnical mechanics of the National Academy of sciences of Ukraine, on the basis of multilayer rubber-metal vibroinsulators are reduced. Their advantage is displayed.

Известно большое количество нетрадиционных систем сейсмоизоляции.

Наибольшее распространение получили системы сейсмоизоляции, при которых осуществляется полное или частичное снижение кинематической связи между фундаментом и надземными конструкциями.